

Józef Lewandowski

**AKUSTYKA MIESZANINY TRÓJFAZOWEJ
JEDNOSKŁADNIKOWEJ
DLA MAŁYCH LICZB KNUDSENA**

38/1974



WARSZAWA

Praca wpłynęła do Redakcji dnia 10 maja 1974 r.



N a p r a w a c h r ę k o p i s u

Instytut Podstawowych Problemów Techniki PAN

Nakład 180 egz. Ark. wyd. 1. Ark. druk. 1,5.

Oddane do drukarni w maju 1974 r.

Nr zamówienia 444/0 W - 108,

Warszawska Drukarnia Naukowa, Warszawa,
ul. Śniadeckich 8

Józef Lewandowski
Zakład Mechaniki Cieczy i Gazów

AKUSTYKA MIESZANINY TRÓJFAZOWEJ
JEDNOSKŁADNIKOWEJ DLA MAŁYCH LICZB KNUDSENA

1. Wstęp

Praca niniejsza jest kontynuacją prac [1 - 5], zajmujących się przepływem wielofazowych mieszanin wieloskładnikowych [1] i jednoskładnikowych [4] oraz rozchodzeniem się w tych mieszaninach małych / w porównaniu do wartości równowagowych/ zaburzeń parametrów termodynamicznych [2,3,5]. Wszystkie te prace jak również i obecnie przedstawiona praca opierają się na jednym i tym samym modelu mieszaniny wielofazowej zaproponowanym przez A.Szaniawskiego [1].

Autor pracy [1] podał model mieszanin wielofazowych o specyficznej strukturze: jedna faza /ciecz lub gaz/ jest spójna i dominuje objętościowo, a pozostałe fazy są w niej jednorodnie rozproszone w postaci kuleczek /cząstek/ o różnych promieniach. Kuleczki o tych samych promieniach nazywa się frakcjami. W modelu tym [1] zakłada się, że odległość pomiędzy cząstkami jest z jednej strony bardzo duża w porównaniu z wymiarami cząstek /promieniami kuleczek/, a z drugiej strony jest bardzo mała w porównaniu z charakterystyczną długością przepływu, co pozwala rozpatrywać mieszaninę wielofazową jako ośrodek ciągły posiadający pewną wewnętrzną strukturę "frakcyjną". O odległościach pomiędzy cząstkami faz rozproszonych zakłada się ponadto, że są one dostatecznie duże, aby cząstki te można było traktować jako izolowane uwzględniając jedynie oddziaływanie pomiędzy tymi cząstkami a otaczającą fazą spójną. Przyj-

muje się również, że wewnątrz tych cząstek nie zachodzą żadne przemiany fazowe. O wymiarach cząstek zakłada się ponadto, że są one wystarczająco duże, aby uzasadnić zaniedbywalność ruchów Browna. W modelu [1] zakłada się również zaniedbywalność wpływu napięcia powierzchniowego na oddziaływanie przylegających do siebie faz, co oznacza, że ciśnienie wewnątrz każdej fazy jest takie samo, a energia wewnętrzna całej mieszaniny jest równa sumie energii wewnętrznych poszczególnych frakcji. W modelu [1] zakłada się dalej zaniedbywalność niejednorodności parametrów termodynamicznych wewnątrz fazy spójnej i wewnątrz każdej frakcji faz rozproszonych. W pracy [2] zajmowano się jednoskładnikową mieszaniną dwufazową, składającą się ze spójnej fazy gazowej i rozproszonej w postaci jednej tylko frakcji fazy ciekłej. W pracy [3] zajmowano się mieszaniną jednoskładnikową trójfazową, w której każda z dwu faz rozproszonych występuje w postaci jednej tylko frakcji. Taką samą mieszaniną zajmujemy się i w niniejszej pracy.

W modelu [1] zakłada się, jak to już wspomniano, że zaburzenia są małe w porównaniu z wartościami równowagowymi, uzasadniając tym samym zarówno linearyzację /ze względu na zaburzenia/ równań opisujących przepływ zaburzony, jak i stosowanie zasad liniowej termodynamiki procesów nieodwracalnych przy obliczaniu strumieni termodynamicznych /masy, energii i pędu/ wywołanych przez zaburzenia.

Rozpatrując zagadnienie rozchodzenia się małych zaburzeń w ośrodkach jednorodnych posługiwano się w pracach [2,3], jak również i w niniejszej pracy oraz w pracy [5], powszechnie stosowaną metodą polegającą na tym, że poszukiwane funkcje /zaburzenia/ przyjmuje się w postaci płaskich fal harmoniczych. Przyjmując taką postać zaburzeń /funkcje periodycz-

ne w przestrzeni i w czasie/ sprowadzamy układ równań różniczkowych jednorodnych /w przypadku braku sił masowych/ akustyki do układu takiej samej liczby liniowych i jednorodnych równań algebraicznych z amplitudami zaburzeń jako niewiadomymi. Warunek konieczny istnienia nietrywialnych rozwiązań tego układu równań algebraicznych wyraża się w postaci równania charakterystycznego, które pozwala nam wyznaczyć prędkość rozchodzenia się dźwięku i tłumienie jako funkcje częstości./dyspersja ośrodka/. Zmniejszając liczby frakcji, składników i faz zapewniamy sobie większą prostotę i przejrzystość rachunków wykonywanych tą metodą. Rozpatrując w pracy [2] rozchodzenie się fal akustycznych w jednoskładnikowej mieszaninie dwufazowej założono, że średnica d kulistych kropelek cieczy jest znacznie mniejsza od średniej drogi swobodnej l cząstek gazu, tzn. założono, że liczba Knudsena $\frac{d}{l}$ jest mała. Założenie to pozwoliło wyliczyć współczynniki fenomenologiczne występujące w równaniach transportu masy, energii i pędu, przenoszonych pomiędzy fazami pod wpływem zaburzeń akustycznych. W pracy [3] rozpatrywano rozchodzenie się fal akustycznych w mieszaninie jednoskładnikowej trójfazowej podając jedynie ogólne wyniki uzyskane również dla przypadku małych liczb Knudsen. W niniejszej pracy pragniemy bardziej wyczerpująco przedstawić niektóre problemy i wyniki numeryczne związane z rozchodzeniem się małych zaburzeń w jednoskładnikowej mieszaninie trójfazowej w przypadku $\frac{d}{l} \ll 1$.

2. Równania akustyki mieszaniny trójfazowej jednoskładnikowej. Równanie charakterystyczne.

Zgodnie z [1] przepływ zaburzony w rozpatrywanym przez nas przypadku można opisać za pomocą 4 termodynamicznych parametrów perturbacji i 3 funkcji wektorowych, określających zaburzenia rozkładów prędkości mieszaniny jako całości /1 funkcja/ i poszczególnych jej frakcji /dwie funkcje/. Za parametry perturbacji przyjmujemy nastę-

pujące różnice pomiędzy wartościami parametrów termodynamicznych stanu zaburzonego i stanu równowagi, którym w naszym przypadku jest stan współistnienia trzech faz /"punkt potrójny"/:

$$11/ \quad \Delta p = \bar{p} - \bar{p}^n; \quad \Delta T^n = T^n - \bar{T}, \quad n = 0, 1, 2.$$

\bar{p} oznacza tu ciśnienie a T temperaturę. Poziomą kreską nad symbolem jakiegokolwiek wielkości fizycznej będziemy odąd zawsze oznaczali wartość tej wielkości w stanie równowagi. Podobnie górnym wskaźnikiem $n = 0, 1$ i 2 będziemy odąd zawsze oznaczali odpowiednio fazę gazową /faza spójna i dominująca objętościowo/, ciekłą /faza rozproszona w postaci jednej frakcji/ i stałą /również faza rozproszona w postaci jednej tylko frakcji/. Zgodnie z [1] liczba różnic pomiędzy wartościami parametrów termodynamicznych stanu zaburzonego i stanu równowagi, których wartości można przyjąć dowolnie, wynosi 2. Różnicami tymi mogą być:

$$12/ \quad \Delta \xi^n = \xi^n - \bar{\xi}^n, \quad n = 1, 2.$$

Przez ξ^n , $n=0, 1, 2$ będziemy oznaczali stosunek masy M^n n -tej frakcji fazy skondensowanej / $n=1, 2$ / lub fazy gazowej / $n=0$ / do masy całej mieszaniny M , czyli

$$13/ \quad \xi^n = \frac{M^n}{M}, \quad n = 0, 1, 2,$$

gdzie

$$13a/ \quad M = \sum_{n=0}^N M^n$$

Zbiór funkcji opisujących przepływ zaburzony mieszaniny wielofazowej [1] będą stanowiły parametry perturbacji /1/ oraz trzy funkcje wektorowe \vec{u}^n , $n=0, 1, 2$ gdzie \vec{u}^0 oznacza prędkość fazy gazowej, natomiast \vec{u}^1 i \vec{u}^2 oznaczają prędkość odpowiednich frakcji faz skondensowanych.

Wprowadzamy teraz do modelu [1] dalsze założenia [3], a mianowicie przyjmujemy, że:

1. objętość właściwa faz skondensowanych $\frac{1}{\rho^n}$, $n=1,2$ jest zaniedbywalnie mała w porównaniu do objętości właściwej fazy gazowej $\frac{1}{\rho^0}$, tj.:

$$14/ \quad \frac{\rho^0}{\rho^n} \ll 1; \quad \left(\frac{\xi^1}{\rho^1} + \frac{\xi^2}{\rho^2} \right) \frac{\rho^0}{\xi^0} \ll 1, \quad n=1,2;$$

2. faza gazowa jest gazem nielepkiem, nie przewodzi ciepła i spełnia równanie Clapeyrona

$$15/ \quad p = \rho^0 R T^0;$$

3. fazy skondensowane są nieściśliwe, tj.:

$$16/ \quad \rho^n = \text{const}, \quad n=1,2,$$

i są rozproszone w fazie spójnej gazowej w postaci kulek o stałych promieniach r^1, r^2 i pomijalnych efektach obrotów;

4. średnica cząstek jest bardzo mała w porównaniu ze średnią drogą swobodną cząsteczek gazu, tj.:

$$17/ \quad \frac{d}{\lambda} \ll 1.$$

Zakładamy dodatkowo, że rozpatrywana mieszanina wielofazowa jest początkowo /tzn. przed zaburzeniem równowagi/ w spoczynku, tj.:

$$18/ \quad \vec{u} = 0; \quad \Delta \vec{u} \equiv \vec{\pi}$$

gdzie \vec{u} oznacza prędkość środka masy mieszaniny, przy czym

$$19/ \quad \vec{u} = \sum_{n=0}^N \xi^n \vec{u}^n.$$

Zakładamy również, że siły masowe są równe zeru. Zaburzenie równowagi powoduje pojawienie się względnego ruchu faz, który będziemy charakteryzowali za pomocą prędkości:

$$/10/ \quad \vec{w}^n = \vec{u}^n - \vec{u}, \quad n = 0, 1, 2.$$

Wykorzystując wszystkie poprzednio podane założenia otrzymujemy z równań przepływowych [1,4] mieszaniny wielofazowej [1] następujący układ równań rozchodzenia się zaburzeń akustycznych [2,3]:

$$\frac{\partial \vec{u}}{\partial t} + \bar{\xi}^0 R \bar{T} \bar{\nabla} \left(\frac{\Delta p}{\bar{\rho}} \right) = 0,$$

$$\bar{\nabla} \cdot \vec{u} + \left(\frac{\partial}{\partial t} + \frac{1}{\bar{\xi}^0} \sum_{n=1}^N \bar{\xi}^n \frac{\alpha^n}{\bar{v}_0^n} \right) \frac{\Delta p}{\bar{\rho}} - \left(\frac{\partial}{\partial t} + \frac{1}{2\bar{\xi}^0} \sum_{n=1}^N \bar{\xi}^n \frac{\alpha^n}{\bar{v}_0^n} \right) \frac{\Delta T^0}{\bar{T}} - \frac{1}{\bar{\xi}^0} \sum_{n=1}^N \bar{\xi}^n (Q^n - \frac{1}{2}) \frac{\alpha^n}{\bar{v}_0^n} \frac{\Delta T^n}{\bar{T}} - \frac{1}{\bar{\xi}^0} \sum_{n=1}^N \bar{\xi}^n \bar{\nabla} \cdot \vec{w}^n = 0,$$

$$/11/ \quad \left(\frac{\partial}{\partial t} + \frac{1}{2\bar{\xi}^0} \sum_{n=1}^N \bar{\xi}^n \frac{\alpha^n}{\bar{v}_0^n} \right) \frac{\Delta p}{\bar{\rho}} - \left\{ c^0 \frac{\partial}{\partial t} + \frac{1}{\bar{\xi}^0} \sum_{n=1}^N \frac{\bar{\xi}^n}{\bar{v}_0^n} [Q^n \alpha^n + (c^0 - \frac{1}{2}) \beta^n - \frac{1}{2} (Q^n - \frac{1}{2}) \alpha^n] \right\} \frac{\Delta T^0}{\bar{T}} + \frac{1}{\bar{\xi}^0} \sum_{n=1}^N \frac{\bar{\xi}^n}{\bar{v}_0^n} [(c^0 - \frac{1}{2}) \beta^n - \frac{1}{2} (Q^n - \frac{1}{2}) \alpha^n] \frac{\Delta T^n}{\bar{T}} = 0,$$

$$(Q^n - \frac{1}{2}) \frac{\alpha^n}{\bar{v}_0^n} \frac{\Delta p}{\bar{\rho}} + [(c^0 - \frac{1}{2}) \beta^n - \frac{1}{2} (Q^n - \frac{1}{2}) \alpha^n] \frac{1}{\bar{v}_0^n} \frac{\Delta T^0}{\bar{T}} - \left\{ c^n \frac{\partial}{\partial t} + [(c^0 - \frac{1}{2}) \beta^n - \frac{1}{2} (Q^n - \frac{1}{2}) \alpha^n] \frac{1}{\bar{v}_0^n} + Q^n (Q^n - \frac{1}{2}) \frac{\alpha^n}{\bar{v}_0^n} \right\} \frac{\Delta T^n}{\bar{T}} = 0,$$

$$\bar{\xi}^0 R \bar{T} \bar{\nabla} \left(\frac{\Delta p}{\bar{\rho}} \right) - \left(\frac{\partial}{\partial t} + \frac{1 - \bar{\xi}^m}{\bar{\xi}^0} \frac{\gamma^m}{\bar{v}_0^m} \right) \vec{w}^m - \frac{\bar{\xi}^m}{\bar{\xi}^0} \frac{\mu^m}{\bar{v}_0^m} \vec{w}^m = 0,$$

$$m, n = 1, 2, \\ m \neq n,$$

gdzie

$$/12/ \quad \tau_0^n = \frac{\bar{\xi}^n}{3\bar{\rho}^0} \sqrt{\frac{2\bar{T}}{R\bar{T}}}$$

oraz

$$/13/ \quad C^0 = \frac{G^0}{R},$$

$$/14/ \quad C^n = \frac{c^n}{R},$$

$$/15/ \quad Q^n = \frac{q^n}{RT},$$

przy czym R jest stałą gazową, G^0 - ciepłem właściwym fazy gazowej przy stałym ciśnieniu, q^n jest ciepłem parowania / $n=1$ / lub sublimacji / $n=2$ /, zaś stałe α^n , β^n , γ^n są współczynnikami oddziaływania molekularnego fazy gazowej z powierzchnią fazy rozproszonej ciekłej / $n=1$ / lub stałej / $n=2$ /. Współczynniki te charakteryzują odpowiednio transport masy / α^n /, energii / β^n / i pędu / γ^n /. Spełniają one nierówności [2]:

$$/16/ \quad 0 \leq \alpha^n \leq 1, \quad 0 \leq \beta^n \leq 1, \quad \frac{4+\pi}{6} \leq \gamma^n \leq 2, \quad \alpha^n < \beta^n < 1$$

Do równań /11/ podstawiamy zaburzenia harmoniczne w postaci fal płaskich:

$$/17/ \quad \Delta F(x,t) = (\Delta F)_0 e^{i(\omega t + kx)},$$

gdzie $(\Delta F)_0$ jest amplitudą zaburzenia, ω jest częstotliwością kołową, x jest współrzędną przestrzenną mierzoną w kierunku rozchodzenia się fali, t oznacza czas, a k jest modułem wektora propagacji. Moduł ten wyraża się wzorem:

$$/18/ \quad k = -\frac{\omega}{a} + i\mu,$$

gdzie Ω oznacza prędkość fazową fali zaburzeniowej, a μ jest współczynnikiem tłumienia fali. Po podstawieniu /17/ do układu równań /11/ otrzymujemy układ równań algebraicznych jednorodnych z amplitudami zaburzeń jako niewiadomymi. Z takiego układu równań otrzymujemy z kolei natychmiast równanie charakterystyczne. Z równania charakterystycznego otrzymujemy:

$$/19/ \quad \left(\frac{k}{\omega}\right)^2 R \bar{T} = P \frac{L}{M},$$

gdzie

$$/20/ \quad P = \frac{1}{\xi^2} \left[1 - \frac{1}{\left(1 + \frac{\gamma^2}{i\omega T_0}\right) \frac{1}{\xi^2}} - \frac{1}{\left(1 + \frac{\gamma^2}{i\omega T_0}\right) \frac{1}{\xi^2}} \right],$$

natomiast L i M są wielomianami odpowiednio czwartego i trzeciego stopnia ze względu na ω^{-2} / ze względu na $(i\omega T_0)^{-1}$ /, przy czym w przeciwieństwie do P nie zależą od współczynników wymiany pędu lecz zależą od współczynników wymiany masy i energii / α^n i β^n /. L i M wyrażają się wzorami:

$$L = (1 + L^1 + L^2) M + [1 + \frac{1}{2}(L^1 + L^2)] M_1 - (Q^2 - \frac{1}{2}) L^1 M_2 + (Q^2 - \frac{1}{2}) L^2 M_3,$$

$$M = -[C^0 + (B^1 + B^2) + \frac{1}{4}(L^1 + L^2)] [C^1 + B^1 + (Q^2 - \frac{1}{2})^2 L^1] \cdot \\ \cdot [C^2 + B^2 + (Q^2 - \frac{1}{2})^2 L^2] + [B^2 - \frac{1}{2}(Q^2 - \frac{1}{2}) L^2]^2 [C^1 + B^1 + \\ + (Q^2 - \frac{1}{2})^2 L^1] + [B^1 - \frac{1}{2}(Q^2 - \frac{1}{2}) L^1]^2 [C^2 + B^2 + (Q^2 - \frac{1}{2})^2 L^2],$$

/21/

$$M_1 = [1 + \frac{1}{2}(L^1 + L^2)] [C^1 + B^1 + (Q^2 - \frac{1}{2})^2 L^1] [C^2 + B^2 + (Q^2 - \frac{1}{2})^2 L^2] \\ + [B^2 - \frac{1}{2}(Q^2 - \frac{1}{2}) L^2] [C^1 + B^1 + (Q^2 - \frac{1}{2})^2 L^1] (Q^2 - \frac{1}{2}) L^2 \\ + [B^1 - \frac{1}{2}(Q^2 - \frac{1}{2}) L^1] [C^2 + B^2 + (Q^2 - \frac{1}{2})^2 L^2] (Q^2 - \frac{1}{2}) L^1,$$

$$\begin{aligned}
 M_2 = & -\left[1 + \frac{1}{4}(L^2 + L^2)\right] \left[\tilde{C}^2 + B^2 + (Q^2 - \frac{1}{2})^2 L^2\right] \left[B^2 - \frac{1}{2}(Q^2 - \frac{1}{2})L^2\right] \\
 & + \left[B^2 - \frac{1}{2}(Q^2 - \frac{1}{2})L^2\right]^2 (Q^2 - \frac{1}{2})L^2 \\
 & - \left[B^2 - \frac{1}{2}(Q^2 - \frac{1}{2})L^2\right] \left[B^2 - \frac{1}{2}(Q^2 - \frac{1}{2})L^2\right] (Q^2 - \frac{1}{2})L^2 \\
 & - \left[C^0 + B^2 + B^2 + \frac{1}{4}(L^2 + L^2)\right] \left[\tilde{C}^2 + B^2 + (Q^2 - \frac{1}{2})^2 L^2\right] (Q^2 - \frac{1}{2})L^2,
 \end{aligned}$$

121/

$$\begin{aligned}
 M_3 = & \left[C^0 + B^2 + B^2 + \frac{1}{4}(L^2 + L^2)\right] \left[\tilde{C}^2 + B^2 + (Q^2 - \frac{1}{2})^2 L^2\right] (Q^2 - \frac{1}{2})L^2 \\
 & + \left[B^2 - \frac{1}{2}(Q^2 - \frac{1}{2})L^2\right] \left[B^2 - \frac{1}{2}(Q^2 - \frac{1}{2})L^2\right] (Q^2 - \frac{1}{2})L^2 \\
 & - \left[B^2 - \frac{1}{2}(Q^2 - \frac{1}{2})L^2\right]^2 (Q^2 - \frac{1}{2})L^2 \\
 & + \left[1 + \frac{1}{4}(L^2 + L^2)\right] \left[\tilde{C}^2 + B^2 + (Q^2 - \frac{1}{2})^2 L^2\right] \left[B^2 - \frac{1}{2}(Q^2 - \frac{1}{2})L^2\right],
 \end{aligned}$$

$$L^n = \frac{\alpha^n}{i\omega\tau_0^n} \frac{\xi^n}{\xi^0},$$

$$B^n = \frac{1}{i\omega\tau_0^n} \frac{\xi^n}{\xi^0} \left(C^0 - \frac{1}{2}\right) \beta^n,$$

$$\tilde{C}^n = \frac{\xi^n}{\xi^0} C^n,$$

$$n = 1, 2.$$

3. Prędkość fazowa i współczynnik tłumienia.

Równanie /19/ można przepisać w postaci:

122/

$$-\frac{1}{\alpha^*} + i \frac{\mu^*}{\omega\tau_0^n} = \sqrt{P \frac{L}{M}},$$

gdzie

$$/23/ \quad a^* = \frac{a}{(RT)^{1/2}},$$

$$/24/ \quad u^* = (RT)^{1/2} \omega \varepsilon_0^n$$

jest odpowiednio bezwymiarową prędkością i bezwymiarowym współczynnikiem tłumienia. Z równania /21/ otrzymujemy wzory na prędkość dźwięku i współczynnik tłumienia w następującej postaci:

$$/25/ \quad a^* = -[Re \sqrt{P \frac{L}{M}}]^{-1},$$

$$/26/ \quad u^* = \omega \varepsilon_0^n \operatorname{Im} \sqrt{P \frac{L}{M}}.$$

Re i Im oznaczają odpowiednio część rzeczywistą i urojoną liczby zespolonej. Wzory /25/ i /26/ pozwalają nam wyliczyć numerycznie wartość prędkości dźwięku i tłumienia w funkcji częstotliwości w mieszaninie trójfazowej danej substancji chemicznej /tzn. dla danych stałych materiałowych C^0, C^1, C^2, Q^1, Q^2 / przy parametrach $\alpha^n, \beta^n, \gamma^n, \xi^n$, $n=1,2$ /rys.1-4/. Analiza wzoru /25/ wykazuje, że w granicznym przypadku $\omega \varepsilon_0^n \rightarrow \infty$ prędkość dźwięku a^* nie zależy od parametrów $\alpha^n, \beta^n, \gamma^n, \xi^n$ i dąży do wartości stałej a_{∞}^* , przy czym:

$$/27/ \quad a_{\infty}^* = \sqrt{\frac{C^0}{C^0 - 1}}.$$

W granicy, gdy $\omega \varepsilon_0^n \rightarrow 0$ oraz jednocześnie $\alpha^n \rightarrow 0, \beta^n \rightarrow 0, \gamma^n \rightarrow 0$ prędkość a^* dąży do wartości a_0^* , przy czym pomiędzy

a_0^* i a_∞^* zachodzi prosty związek

$$128/ \quad a_0^* = a_\infty^* \left(\frac{\bar{\omega}_0}{3}\right)^{1/2}$$

W pracy [5] wykazano, że wzory /19/-/26/ są słuszne również w przypadku mieszaniny dwufazowej z dwoma frakcjami jednej tylko fazy rozproszonej tj. dla przypadku, gdy $Q^2 = Q^2$. Równość ta pociąga bowiem za sobą, jak wykazano w pracy [5], zmniejszenie się stopnia wielomianu L ze względu na $\omega^2 < 1$ i przejście wzorów /21/ w analogiczny wzór dla przypadku mieszaniny dwufazowej z jedną fazą rozproszoną w postaci dwu frakcji. W pracy [5] dokonano również wyczerpującej analizy wzoru /19/ w pracy [5] wzór /6// badając jego zachowanie się w obszarze małych częstości. W szczególności wykazano, że:

$$129/ \quad \lim_{\omega \rightarrow 0} \rho \frac{L}{M} = \left(\frac{Q^2 - Q^2}{Q^2 + Q^2} \frac{1}{\bar{\omega}_0}\right)^2 \frac{1}{\frac{\bar{\omega}_1}{3} + \frac{\bar{\omega}_2}{3}} \frac{1}{i\omega}$$

$$130/ \quad \lim_{\omega \bar{\omega} \rightarrow 0} a^* = \frac{\sqrt{\omega \bar{\omega}}}{\Lambda}$$

$$131/ \quad \lim_{\omega \bar{\omega} \rightarrow 0} u^* = \Lambda \sqrt{\omega \bar{\omega}}$$

gdzie

$$132/ \quad \bar{\omega} = \sqrt{\varepsilon^1 \varepsilon^2}$$

$$133/ \quad \Lambda = \frac{Q^2 - Q^2}{Q^2 + Q^2} \frac{1}{\bar{\omega}_0} \left[\frac{\frac{1}{3}(2 - \bar{\omega}_0)}{\frac{(\varepsilon^1/\varepsilon^2)^{1/2}}{3^2/(3^2+3^2)} + \frac{(\varepsilon^2/\varepsilon^1)^{1/2}}{3^2/(3^2+3^2)}} \right]^{1/2}$$

przy czym w rozpatrywanym przez nas przypadku małych liczb Knudsen'a podane w pracy [5] wzory na τ^1 i τ^2 przyjmują postać

$$/34/ \quad \frac{\tau^{1,2}}{\tau_p^{1,2}} = \frac{1}{\alpha^{1,2}} + \frac{(Q^{1,2} - \frac{1}{2})^2}{c - \frac{1}{2}} \frac{1}{\beta^{1,2}},$$

gdzie

$$/35/ \quad \tau_p^{1,2} = \left(\frac{Q^{2,1}}{Q^1 + Q^2} \right)^2 \tau_0^{1,2}.$$

$\tau_0^{1,2}$ jest dane wzorem /12/.

Z wzorów /30/-/31/ widać, że $a^* \rightarrow 0$, $u^* \rightarrow 0$, gdy $\omega \rightarrow 0$, tzn. gdy układ dąży do równowagi. Czasy charakterystyczne τ^n , $n=1,2$, dane wzorem /34/ zależą od wymiany masy i energii pomiędzy fazami rozproszonymi i fazą spójną gazową, jak również od promieni r^n cząstek frakcji rozproszonych. Współczynnik Λ jest zgodnie z [5] miarą wpływu efektów trójfazowych na własności akustyczne mieszaniny; współczynnik ten znika gdy $Q^1 - Q^2 \rightarrow 0$, a więc, gdy znikają efekty związane z trójfazowością. Zgodnie z [5] nierówność

$$/36/ \quad \omega \ll \frac{\Lambda^2}{\tau}$$

wyznacza obszar częstości, w którym efekty trójfazowe wywierają silny wpływ na własności akustyczne mieszaniny wielofazowej.

4. Wyniki numeryczne

Przedstawiamy obecnie niektóre rezultaty obliczeń numerycznych wartości prędkości dźwięku i tłumienia w funkcji częstości jakich dokonano dla wody korzystając z wzorów /25/-/26/. Podamy również wartości $\frac{\mu^*}{\omega \tau_0^2}$ w funkcji α^n , wyliczone na podstawie wzoru /34/ dla wody, dwutlenku węgla i amoniaku. Wykonując obliczenia numeryczne korzystano z wartości liczbowych stałych Q^D i C^O podanych niżej w tabeli I [4] .

Tabela I

	Q^1	Q^2	C^O
H ₂ O [6]	19,80	22,73	4,18
CO ₂ [7]	8,56	13,44	5,15
NH ₃ [7]	15,80	19,33	10,00

Na rys.1-4 podano dla wody wykresy zależności α^* i μ^* /rys.1/ lub $\frac{\mu^*}{\omega \tau_0^2}$ /rys.2-4/ od $\omega \tau_0^2$ dla $\tau_0^1 = \tau_0^2 = \tau$ dla różnych zakresów częstości i różnych wartości parametrów $\alpha^1 = \alpha^2 = \alpha$, $\beta^1 = \beta^2 = \beta$, $\bar{\gamma}^0 = 1 - \frac{\bar{\gamma}^1}{\bar{\gamma}^2}$, $\frac{\bar{\gamma}^1}{\bar{\gamma}^2} = \frac{\bar{\gamma}^1}{\bar{\gamma}^2}$. Przy doborze wykresów funkcji α^* i μ^* lub $\mu^*/\omega \tau$, przedstawionych na rys. 1-4, kierowano się pragnieniem uzyskania zestawienia krzywych odpowiadających takiemu doborowi wartości parametrów $\alpha, \beta, \gamma, \bar{\gamma}^0$, który pozwalałby poprzez porównanie ze sobą odpowiednich wykresów wnioskować o wpływie zmian poszczególnych parametrów na przebieg badanych funkcji. Wartości parametrów $\alpha, \beta, \gamma, \bar{\gamma}^0$ odpowiadające różnym krzywym z rys.1-4 podano w tabeli II.

Tabela II

	Nr. krzywej	α	β	γ	$\bar{\xi}^0$	
Rys.1	1	0,0015	0,5	1,9	0,8	
	2	0,015	0,5	1,9	0,8	
	3	0,0015	0,5	1,9	0,5	
	4	prędkość a_0^* dla $\bar{\xi}^0 = 0,8$				
	5	prędkość a_c^* dla $\bar{\xi}^0 = 0,5$				
Rys.2	1	0,15	0,5	0,0	0,8	
	2	0,0	0,0	1,9	0,8	
	3	0,15	0,5	1,9	0,8	
	4	0,015	0,5	1,9	0,8	
	5	0,0015	0,5	1,9	0,8	
Rys.3	1	0,15	0,5	0,05	0,8	
	2	0,15	0,5	0,5	0,8	
	3	0,15	0,5	1,0	0,8	
	4	0,15	0,5	1,9	0,8	
	5	0,15	0,5	1,9	0,8	
Rys.4	1	0,15	0,0	1,9	0,8	
	2	0,15	0,25	1,9	0,8	
	3	0,15	0,5	1,9	0,8	
	4	0,15	0,5	1,9	0,5	

Wykresy przedstawione na rysunku 1 uwidaczniają paraboliczny charakter zależności a^* /linie ciągłe/ i μ^* /linie przerywane/ od $\omega\tau$ dla małych częstości, zgodny z wzorami /30/-/31/. Na rys.1 podano również prędkość a_0^* dla $\bar{\xi}^0 = 0,8$ i $\bar{\xi}^0 = 0,5$.

Rysunki 2-4 przedstawiają wykresy a^* /linie ciągłe/ i $\mu^*/\omega\tau$ /linie przerywane/ jako funkcje $\omega\tau$ dla $10^{-3} \leq \omega\tau \leq 10^2$, a więc w zakresie częstości, w którym do badania przebiegu omawianych funkcji nie można stosować, jak to widać z rys.1, wzorów /30/-/31/, lecz trzeba się posługiwać wzorami /25/-/26/.

Zgodnie z tabelą II krzywe 1 z rys.2 przedstawiają zależności α^* i $\mu^*/\omega\tau$ od $\omega\tau$ dla przypadku, gdy brak wymiany pędu / $\gamma = 0$ /, natomiast krzywe 2 są wykresami tych samych zależności dla $\gamma = 1,9$, $\alpha = \beta = 0$ /brak wymiany masy i energii między fazami/. Krzywe 3 z rys.2 przedstawiają zależności α^* i $\mu^*/\omega\tau$ od $\omega\tau$ dla przypadku, gdy zachodzi superpozycja wpływów wymiany pędu / $\gamma \neq 0$ / oraz wymiany masy / $\alpha \neq 0$ / i energii / $\beta \neq 0$ / na charakter przebiegu badanych zależności. Porównując krzywe 3 z krzywymi 1 i 2 /rys.2/ można ocenić, jak silnie zaznacza się wpływ wspomnianych procesów transportu na przebieg omawianych zależności. Porównując ze sobą krzywe 3-5 można z kolei dostrzec zmiany w przebiegu α^* i $\mu^*/\omega\tau$ jako funkcji $\omega\tau$, wywołane przez zmianę współczynnika wymiany masy między fazami. Podobnie porównanie odpowiednich krzywych z rys. 3 i 4 uwiadczenia zmiany w przebiegu omawianych funkcji wywołane odpowiednio zmianą wymiany pędu /rys.3 krzywe 1-4/, zmianą wymiany energii /rys.4 krzywe 1-3/ oraz zmianą parametru \bar{z}^0 /rys.4 krzywe 3 i 4/.

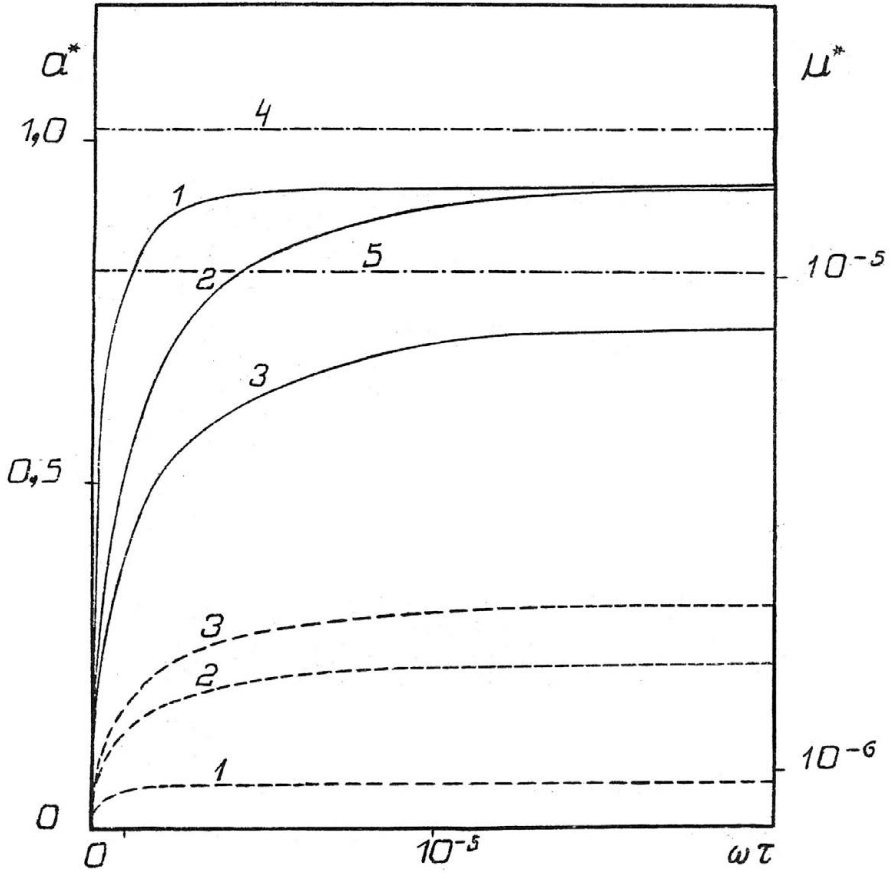
Na rys. 5 przedstawiono wykresy ilustrujące zależność bezwymiarowych czasów charakterystycznych τ^n/τ_p^n , $n = 1, 2$, danych wzorem /34/, od współczynnika wymiany masy dla wody /krzywe 1-4/, amoniaku /krzywe 5-8/ i dwutlenku węgla /krzywe 9-12/ oraz dla $\beta^n = 1$ /linie ciągłe/ i $\beta^n = \alpha^n$ /linie przerywane/. Krzywe 1, 2, 5, 6, 9, 10 odpowiadają fazie rozproszonej ciekłej / $n=1$ /, natomiast krzywe 3, 4, 7, 8, 11, 12 odpowiadają fazie rozproszonej stałej / $n=2$ /. Z rys. 5 widać, jak silnie wydłuża się czas powrotu układu do równowagi w miarę jak maleje wymiana masy w rozpatrywanym przepływie zaburzonym. W tabeli IV podano wartości liczbowe τ^n/τ_p^n dla wody, amoniaku i dwutlenku węgla.

Tabela IV

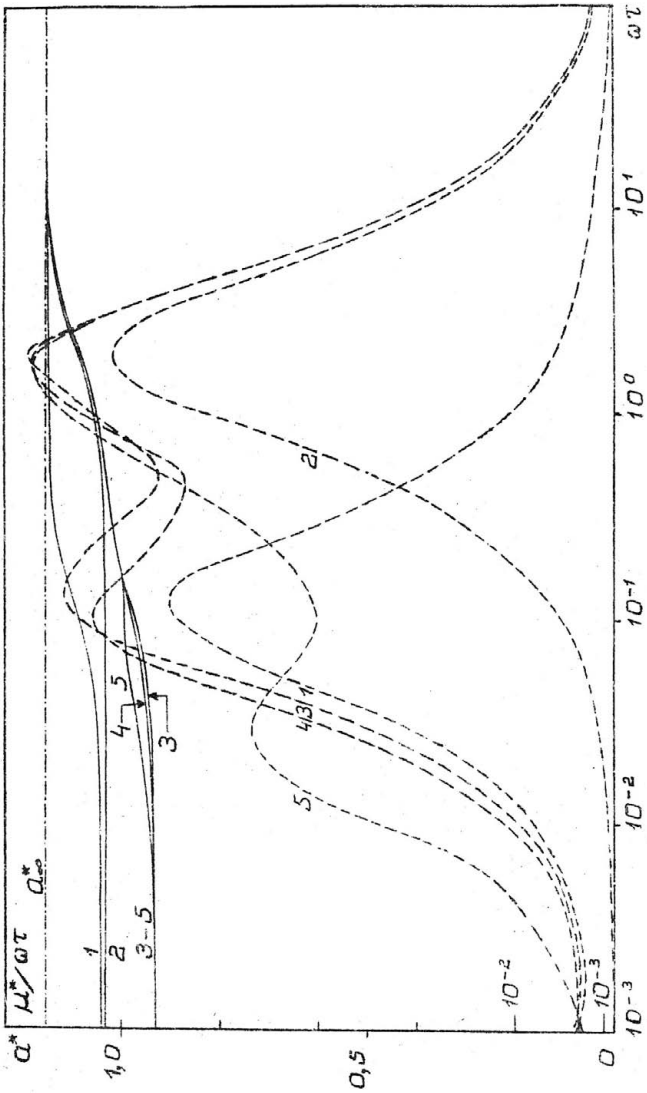
	T [°K]	\bar{p} [dyna/cm ²]	$\rho^1 = \rho^2$ [g/cm ³]	ε_p^1/r^2 [sek/cm]	$\tau_p^2/r\varepsilon$ [sek/cm]
H ₂ O	273,1 [8]	630,0 [8]	1,0	13,57	9,2
NH ₃	195,2 [10]	6,065 103 [10]	0,6814 [9]	0,8678	0,581
CO ₂	216,4 [11]	5,171 10 ⁶ [11]	1,512 [10]	1,837 10 ⁻²	7,45 10 ⁻³

LITERATURA

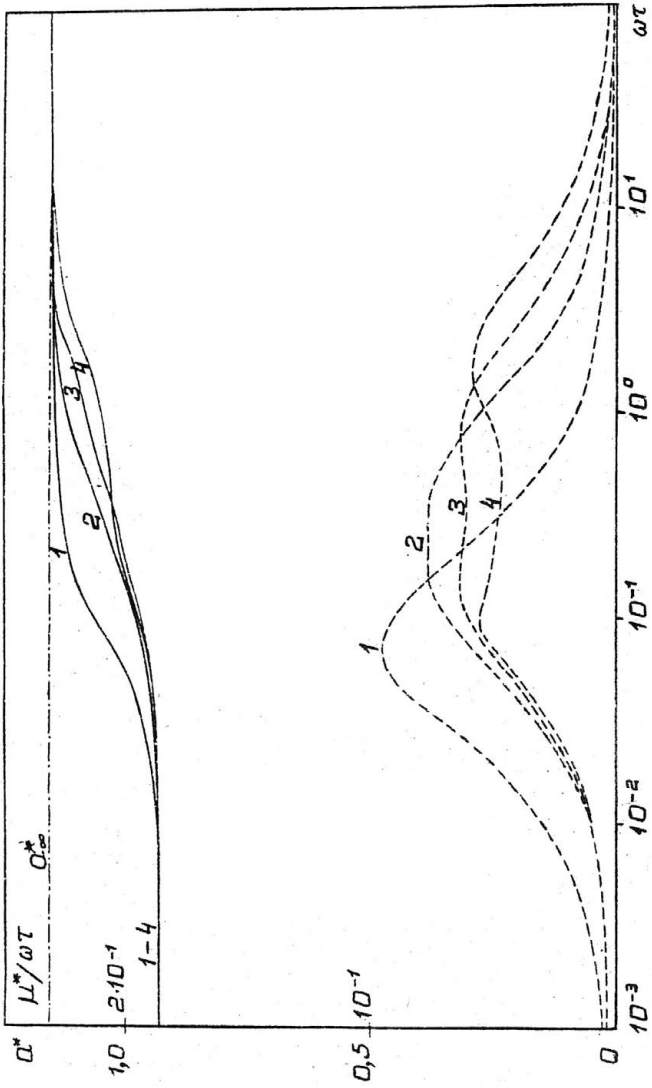
- [1]. SZANIAWSKI A. - Flow equations of a multiphase mixture with one coherent liquid or gaseous phase, Arch.Mech. Stos., 24, 555-571, /1972/.
- [2]. SZANIAWSKI A. - Rozchodzenie się fal akustycznych w kropelkowym modelu pary wilgotnej, Biuletyn IMP PAN, /1972/.
- [3]. SZANIAWSKI A. LEWANDOWSKI J. - Akustyka mieszaniny jednostkowej trójfazowej, Prace XIX Otwartego Seminarium z Akustyki, Gdańsk-Sopot wrzesień 1972, str.327-330.
- [4]. SZANIAWSKI A. - Equations of flow of a one-component three-phase mixture, Arch.Mech.Stos., 25, 791-799, /1973/.
- [5]. SZANIAWSKI A. - Acoustics of one-component three-phase mixture Bull.Acad.Polon.Sci., Ser.Sci.Tech., 22, 5 /1974/
- [6]. М.П.Букалович, С.Л.Рыбкин, Л.А.Александров, Таблицы физических свойств воды и водяного пара, Москва 1969.
- [7]. DIN F. - Thermodynamic functions of gases, Butterworth, London, /1962/.
- [8]. WERLE J. - Termodynamika fenomenologiczna, PWN, Warszawa /1957/.
- [9]. Краткая химическая энциклопедия, том I, Гос.Научн.Изд. " Советская Энциклопедия", Москва 1961.
- [10]. Краткая химическая энциклопедия, том 4, Гос.Научн.Изд. "Советская Энциклопедия", Москва 1967.
- [11]. MELLOR J.W. - A Comprehensive Treatise on Inorganic and Theoretical Chemistry, Vol.VIII, str.173, Langmans, Green and Co., London-New York-Toronto, /1953/.
- [12]. MELLOR J.W. - A Comprehensive Treatise on Inorganic and Theoretical Chemistry, Vol.VI, str.31, Langmans, Green and Co., London-New York - Toronto, /1947/.



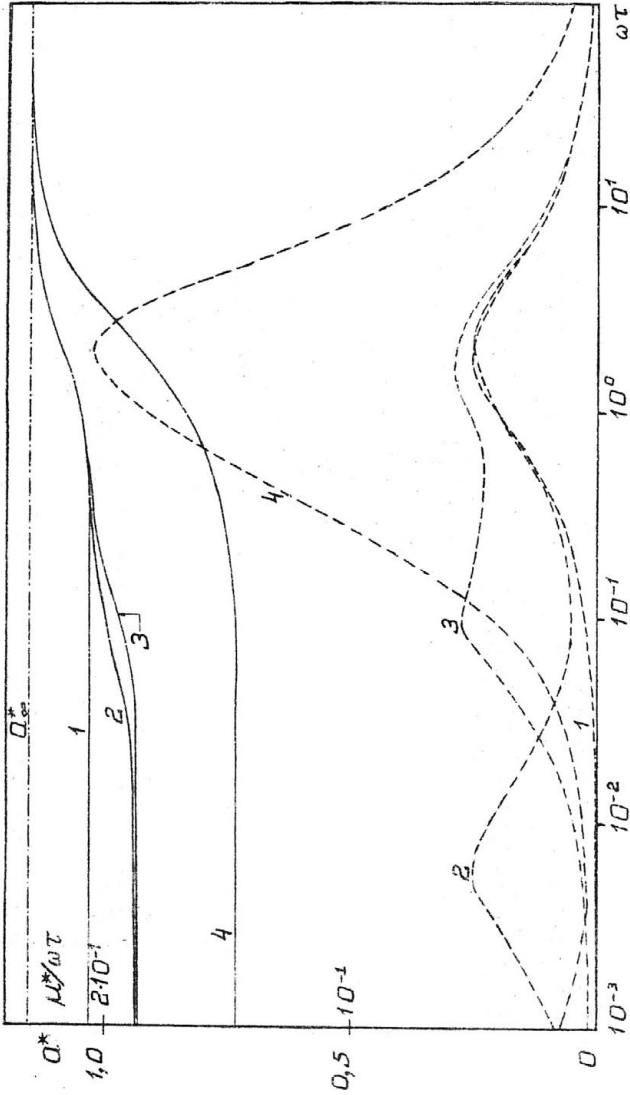
Rysunek 1.



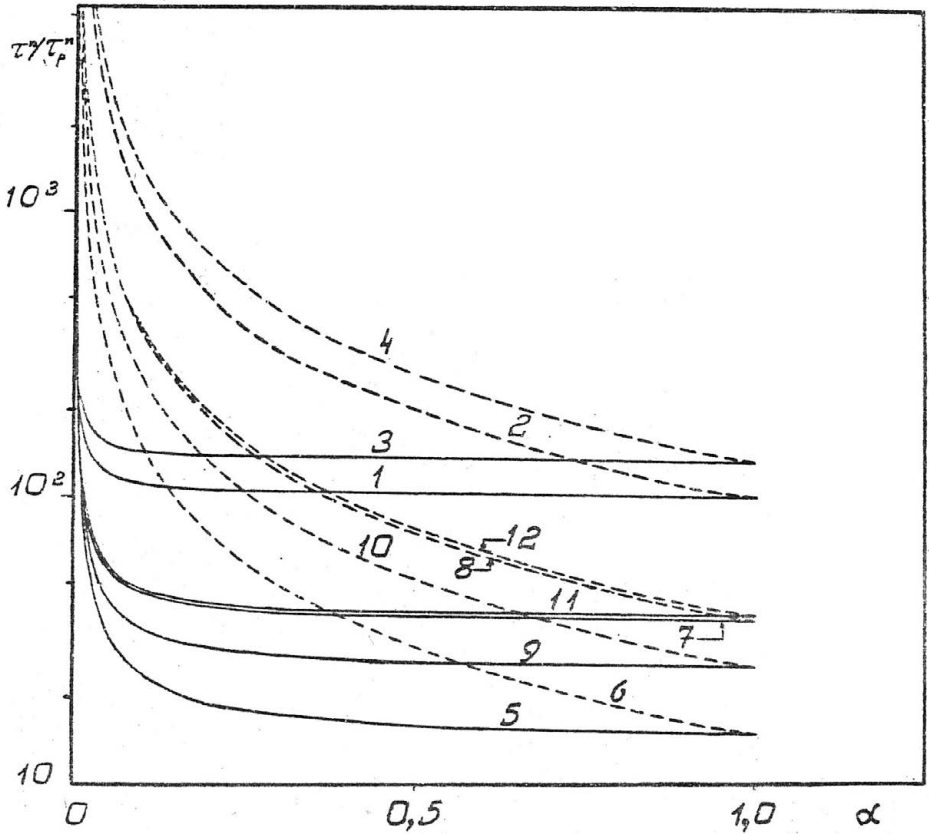
Rysunek 2.



Rysunek 3.



Rysunek 4.



Rysunek 5.